

# Морско инженерство

## Избор на кристал за пиеозокерамичен преобразовател

Атанас Ал. Атанасов

Институт по океанология, БАН (Варна)

На основата на функционалната акусто-електроника се строят и разработват необходими и важни за практиката прибори и устройства, известни като апарати от четвърто поколение — телеметрични акустични линии за предаване на информация, запаметяващи устройства, ултразвукова апаратура за диагностика и измерване.

Развитието на електроакустиката е съпроводено с разработването и създаването на широка гама пиеоелектрични преобразователи с най-различни свойства. В последните години се появиха публикации, в които се посочват резултатите от изследването на свойствата на новите акустически кристали и възможностите за приложението им в практиката (Боний и др., 1973; Дамон и др., 1974; Дутойт, 1973; Апедесон, 1972 и др.). Съществена трудност при конструирането на най-разнообразна акустична апаратура е изборът на акустичния кристал.

Известно е, че основните характеристики на акустичните антени (резонансна честота, качествен фактор, коефициент на електромеханична връзка и др.) са тясно свързани със статичния и динамичния капацитет, динамичната индуктивност и активното съпротивление, включени в еквивалентните им схеми.

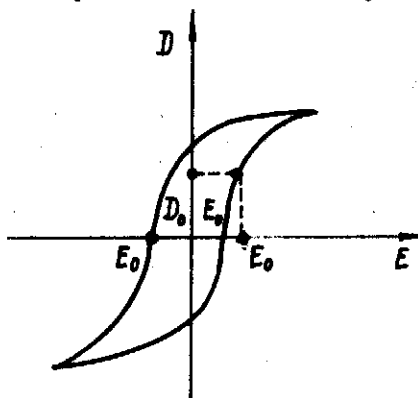
Стойностите на тези активни и реактивни съпротивления зависят и от геометричните размери на пиеоелектричните преоб-

разователи (примерно за кръгли акустични пластини — радиус и дебелина).

Познаването на параметрите на еквивалентната схема на акустичните антени позволява доброто им съгласуване с входните или с изходните електрически вериги, към които те се свързват.

Цел на тази статия е да се предложи методика за избор на кристали за пиеоелектричен преобразовател в началния стадий на проектиране на акустична антена.

Акустичните кристали притежават нелинейна характеристика на преобразуване  $D = F(S)$ . Тази нелинейна връзка се определя от нелинейността между приложено-то електрическо поле  $E$  на електродите на



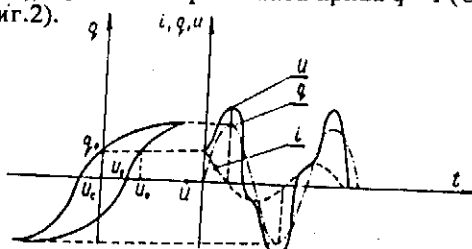
Фиг.1. Работна характеристика на акустичен кристал  $D = F(E)$

акустичните кристали и електричната индукция  $D$ , от нелинейността на механичното напрежение  $T$  и механичната деформация  $S$  (Плужников, Семенов, 1971). В действителност тези нелинейни връзки са многофазни и се представят от съответните им хистерезисни криви. За всеки акустичен кристал е валидна характеристика  $D = F(E)$ , показана на фиг.1.

От своя страна електричният заряд  $q = K_1 D$ , а напрежението, приложено на електродите на акустичните кристали, е  $U = K_2 E$ , където  $K_1$  и  $K_2$  са коефициенти на пропорционалност, които зависят от типа на акустичния кристал, използван за направа на пиеzокерамичния преобразовател.

Познаването на коефициентите  $K_1$  и  $K_2$  позволява от хистерезисната характеристика  $D = F(E)$ , показана на фиг.1, да се получи хистерезисната характеристика  $q = F(U)$ , показана на фиг.2.

Приема се, че са известни формата и амплитудата на работното напрежение  $U_0$ , което постъпва на електродите на пиеzоелектричния преобразовател. По подобие на линейните връзки може да се определи статичният нелинейен капацитет  $C_0 = q(U_0)/U_0$  по хистерезисната крива  $q = F(U)$  (фиг.2).



Фиг.2. Хистерезисна крива  $q = F(U)$  с характеристики на електрическия заряд  $q(t)$ , електрическия ток  $i(t)$  и напрежението  $U(t)$

Допуска се, че в момент  $t_0$  на електродите на акустичния кристал действа  $U_0$ . За тази работна точка от хистерезисната крива, показана на фиг.2, съответства  $q_0$ . Избира се произволно нарастване  $\Delta U$  в  $U_0$ , което води до нарастване на електричния заряд  $q_0$  с  $\Delta q$ .

С отношението  $C_g = \Delta q / \Delta U$  се определя динамичният капацитет  $C_g(U_0)$  толкова правдиво, колкото изменението на  $\Delta U$  води до промяна на  $\Delta q \rightarrow 0$ .

Следователно от характеристика  $D = F(E)$  на акустичните кристали при известна амплитуда на входното напрежение  $U_0$

можат да се получат очакваните стойности на два основни елемента от популярната електрична еквивалентна схема на пиеzокерамичния преобразовател – статичен капацитет  $C_0$  и динамичен капацитет  $C_g$ .

Познаването на развитието на тока  $i$  и напрежението  $U$  във времето позволява добро съгласуване на акустичните антени с входните и изходните вериги.

Допуска се, че се работи по хистерезисната крива без да се навлиза в зоната на насищане. Стойностите на  $\pm U_{\max}$  съответстват на върховете на хистерезисната крива (фиг.2).

Приема се, че механичната деформация на акустичния кристал се развива по закона  $S = S_{\max} \sin \omega t$ , където  $S_{\max}$  е максимална амплитуда на деформацията, а  $\omega$  – кръгова честота. Тази деформация води до изменение на електричния заряд  $q = q_{\max} \sin \omega t$ , където  $q_{\max}$  е максимална стойност на електричния заряд.

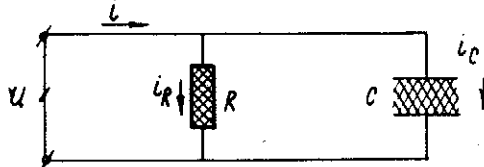
При това  $\pm q_{\max}$  съответства на  $\pm U_{\max}$ . Хистерезисната крива  $q = F(U)$  и приетия закон за изменение на електричния заряд  $q(t)$  са добра основа за илюстриране на развитието на тока  $i$  и напрежението  $U$  във времето. Левият клон на хистерезисната крива оформя „нарастването“ на зависимостта  $U = f(t)$ , а по десния клон – „намаляването“ на зависимостта  $U = f(t)$  в съответствие със закона на изменение на  $q(t)$  (фиг.2). Законът за изменение на тока  $i = f(t)$ , показан на фиг.2, се получава от уравнението  $i(t) = dq(t)/dt = i_{\max} \cos \omega t$ , където максималната стойност на тока  $i_{\max} = q_{\max} \omega$ .

От фиг.2 се вижда, че „хармониката“ на тока  $i(t)$  изпреварва кривата на напрежението  $U(t)$  с  $\omega t < \pi/2$ . При чист капацитивен товар „хармониката“ на  $i(t)$  би трябвало да изпреварва „хармониката“ на  $U(t)$  с  $\omega t = \pi/2$ .

Тези загуби се обясняват от многофазната характеристика  $E = F(D)$  на акустичния кристал. Приема се, че те се моделират от нелинейно активно съпротивление, включено паралелно на нелинейния капацитет (фиг.3). Токът, който протича през акустичния кристал  $i(t) = i_C(t) + i_R(t)$ .

Познаването на големината на тези токове, както и стойностите на  $R$  и  $C$  позволява да се оцени електричният качествен фактор  $Q = P_p/P_a$ , където  $P_p = f[i_C(t)]$  е ре-

активната мощност;  $P_a = f[i_R(t)]$  е активната мощност, разсейана в нелинейното активно съпротивление  $R$  (фиг.3).



Фиг.3. Еквивалентна електрическа схема на акустичен кристал

От фиг.2 се пренася онази част от хистерезисната крива  $q = F(U)$ , която се намира над абцисната ос, показана на фиг.4.

Кривата  $U_C(q)$ , която определя пада върху нелинейния капацитет  $C$ , се получава от кривата  $U_1(q)$  (десния клон) и  $U_2(q)$  (левия клон) от уравнение  $U_R(q) = [U_1(q) - U_2(q)]/2$ .

Кривата  $U_R(q)$  се припокрива с кривата  $U_C(q)$  и представлява огледалния образ при пренасянето ѝ в четвърти квадрат. Това е в съответствие на изходната еквивалентна схема, показана на фиг.3, съгласно която  $U(t) = U_R(t) = U_C(t)$ .

За определяне на активното нелинейно съпротивление  $R$  на нелинейния капацитет  $C$  са необходими волт-амперните характеристики  $U_R(i)$  и  $U_C(i)$ . Това налага преизмеряването на ординатната ос от електричен заряд  $q$  в електричен ток  $i$ .

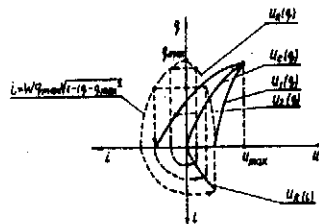
Съгласно приетия закон за изменение на електричният заряд  $q$  ординатната ос може да се мащабира по зависимостта

$$i = w q_{\max} \sqrt{1 - (q/q_{\max})^2}$$

за всяка стойност на електрическия заряд  $q$ .

Това мащабиране на ординатната ос може да се постигне и геометрично. Повдигането на двете страни на зависимостта  $i = f(q)$  на квадрат води до уравнение на елипса от вида  $(i/w q_{\max})^2 + (q/q_{\max})^2 = 1$ . За мащабни коефициенти от вида  $K_q = K_w$ , където  $K_q$  е мащабен коефициент на ординатната ос, а  $K_i$  е мащабен коефициент на абцисната ос, уравнението на елипса се трансформира в уравнение на окръжност.

При валидността на тази връзка между мащабните коефициенти  $K_q$  и  $K_i$  се постига лекото пренасяне на кривата  $U_R(q)$  от



Фиг.4. Схема на волтамперните характеристики  $U_R(i)$  и  $U_C(i)$  съгласно еквивалентната схема трети в четвърти квадрат като  $U_R(i)$  (фиг.4).

Независимо от направените допускания от хистерезисната крива  $D = F(E)$ , валидна за акустичния кристал, са получени две основни волт-амперни характеристики  $U_R(i)$  и  $U_C(i)$  на пиезокерамичния преобразовател.

При известно входно напрежение  $U_o$  не представява трудност определянето на токовете  $i_R$  и  $i_C$ , респективно на нелинейното активно съпротивление  $R$  и на нелинейния капацитет  $C$ , включени в приемата еквивалентна електрическа схема, показвана на фиг.3.

Стойността на нелинейния капацитет  $C$  за амплитуда на входното напрежение  $U_o$  е прецизираната стойност на статичния капацитет  $C_o$ , определен по зависимостта  $C_o = q(U_o)U_o$ .

Тази методика е приложима и за закон на изменение на входното въздействие, различен от синусоиден.

Приетата еквивалентна схема, показана на фиг.3, може да се обогати с включването на динамичния капацитет  $C_g$  и динамичната индуктивност  $L_g$  последователно на активното съпротивление  $R$ . В резултат на това се получава популярна електрическа еквивалентна схема на акустична антена (Гейе, Сабатие, 1967; Камп, 1972, и др.).

Представа за очакваната стойност на динамичната индуктивност  $L_g$  може да се получи от векторната сума на реактивните и активното съпротивление, построена в съответствие на популярната електрическа еквивалентна схема

$$(1) z = X_{C_0}X_P/X_{C_0} + X_P,$$

където  $X_{C_0} = 1/jwC_0$  е реактивното съпротивление от статичния капацитет  $C_0$ ;  $X_P = 1/jwC_g + jwL_g + R$  — сумарното реактивно съпротивление в последователния клон на еквивалентната електрическа схема;  $w$  — кръговата честота.

Тъй като акустичните антени са с под-

чертан капацитетен характер се приема, че ъгълът, сключен между вектора на активното съпротивление  $R$  и векторната сума  $z$  е  $\varphi = \pi/2$ . Познаването на векторната сума  $X_p$  позволява определянето на реактивното съпротивление  $XL_g$  от наличието на динамична индуктивност по зависимостта

$$(2) XL_g = j\omega L_g = X_p \cdot (R + 1/j\omega C_g).$$

Предложената методика за избор на акустичен кристал за пиезокерамичен преобразовател позволява по основната характеристика на акустичния кристал  $D = F(E)$  и очаквано входно напрежение  $U_o$  да се прогнозират стойностите на съответ-

ните елементи на популярната еквивалентна електрическа схема на пиезокерамичния преобразовател. Познаването на тази еквивалентна схема дава възможност да се оценят основните характеристики на пиезокерамичните преобразователи. В случаи, че прогнозираните основни характеристики на акустичните антени за даден акустичен кристал не удовлетворяват изискванията, поставени от практиката по демонстрираната методика се оценява друг акустичен кристал със своя основна изходна  $D = F(E)$ .

## Choice of a crystal for piezoceramic transducer

*Atanas Al. Atanasov*

### (Summary)

On the basis of the characteristic  $D = F(E)$  of an acoustic crystal and the input voltage amplitude of piezoceramic transducer a method for choice of an acoustic crystal has been devised. It allows to define the structural

elements of the traditional equivalent scheme of a piezoceramic transducer. Estimate of these elements present satisfactory data for the practical application of piezoceramic transducers.

*Постъпила на 15.09.1987 г.*